

8-3 地殻活動総合観測線最近1年／近畿の10年の観測結果

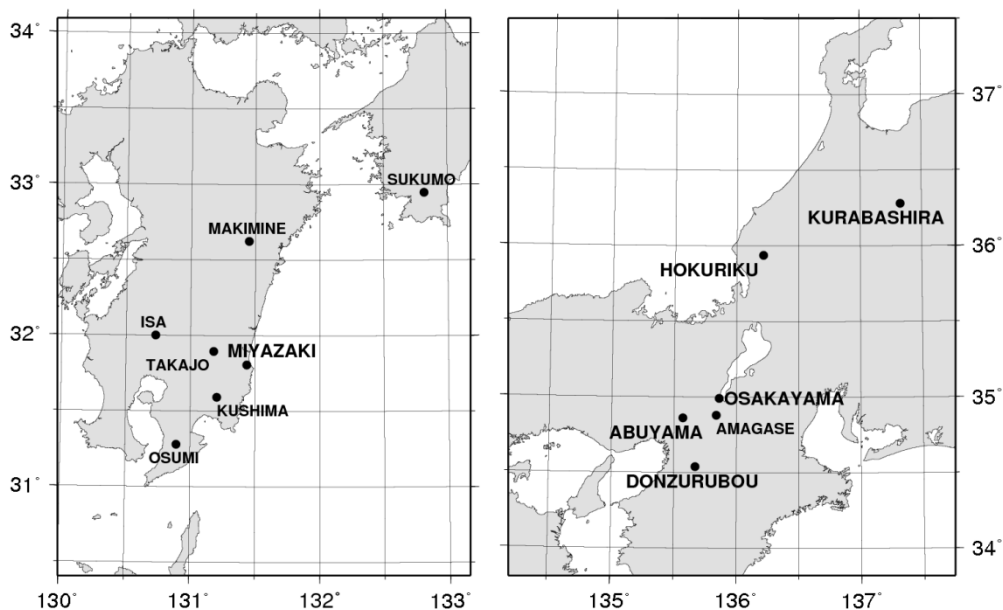
Continuous Observations of Crustal Deformations at Observation Networks in Central Kinki and Southeast Kyusyu District.

京都大学防災研究所地震予知研究センター
Research Center for Earthquake Prediction,
Disaster Prevention Research Institute, Kyoto University

近畿・北陸地方および日向灘地殻活動総合観測線の主要点の坑道内歪観測結果の最近1年分を示す。長期的な2003年以降のトレンド変化の推移を見るため、近畿主要点については、1999年以来現在まで約11年間の記録も併せて示す。最近では、2008年春～初夏にかけてトレンドの変化がいくつかの成分で認められる。屯鶴峯では1年早い2007年から変化し、逢坂山では降雨から推定した地下水位の予測値が実測値からずれるなど、2003年と類似した現象も認められるが、今回は微小地震の発生レートに変化が表れていないのが2003年の場合との大きな違いである。日向灘観測線ではこの期間、降雨や温度によると思われる擾乱以外では特記すべき地殻変動は見られない。また台風の上陸、接近による豪雨や夏から秋にかけての長雨も無く、非常に降雨量の少ない期間となった。このため、降雨による擾乱が長期に及ぶ宮崎、伊佐観測点の歪変動においては降雨の影響による歪レートが小さく、この期間を通しての変動量はどの成分も小さい。また伊佐観測点においては、今回の表示期間以前の豪雨の影響からの回復変動が継続していると思われる。この期間日向灘ではM=5クラスの地震が2回発生し、2009年4月5日M=5.6の地震時には震源に最も近い宮崎観測所の歪計各成分に地震に伴ったストレインステップと余効変動が観測されたが(予知連会報, 第82巻), 2009年8月5日M=5.0の地震では特に地震に伴うステップ、余効変動は観測されなかった。

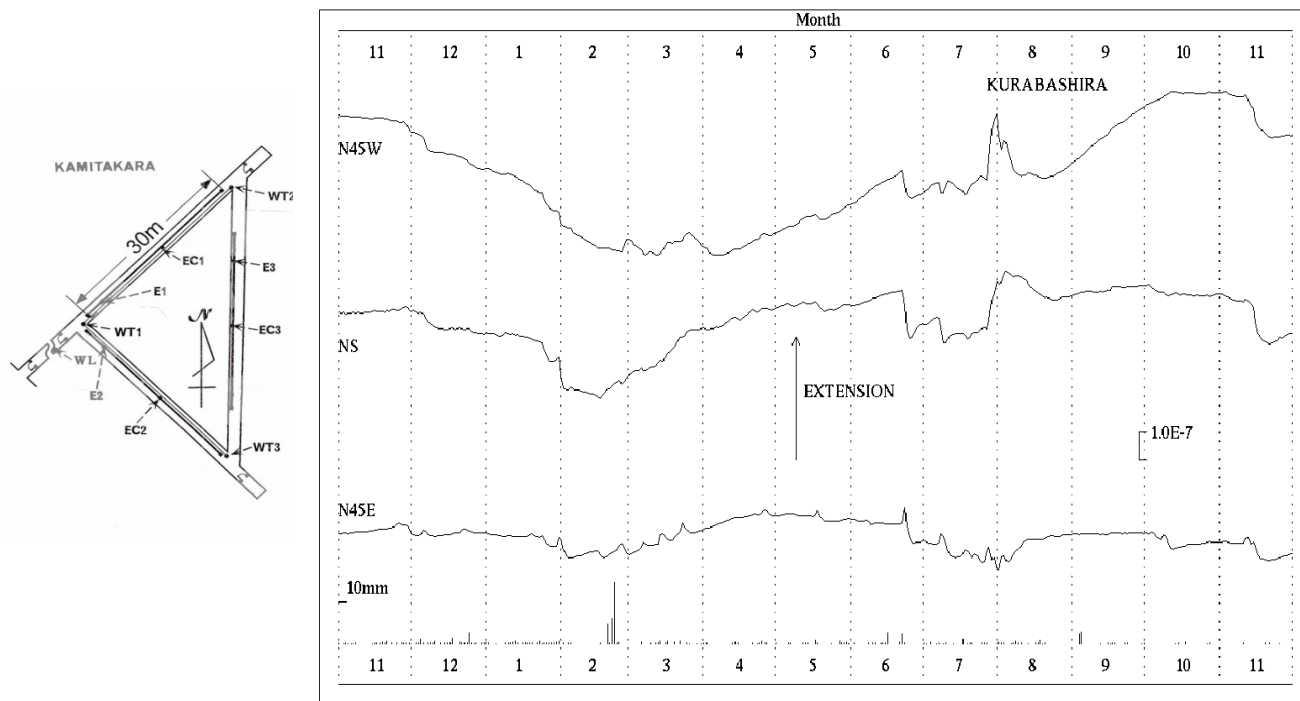
地殻活動総合観測線最近1年／近畿の10年の観測結果

京都大学防災研究所地震予知研究センター



第1図 観測点位置図

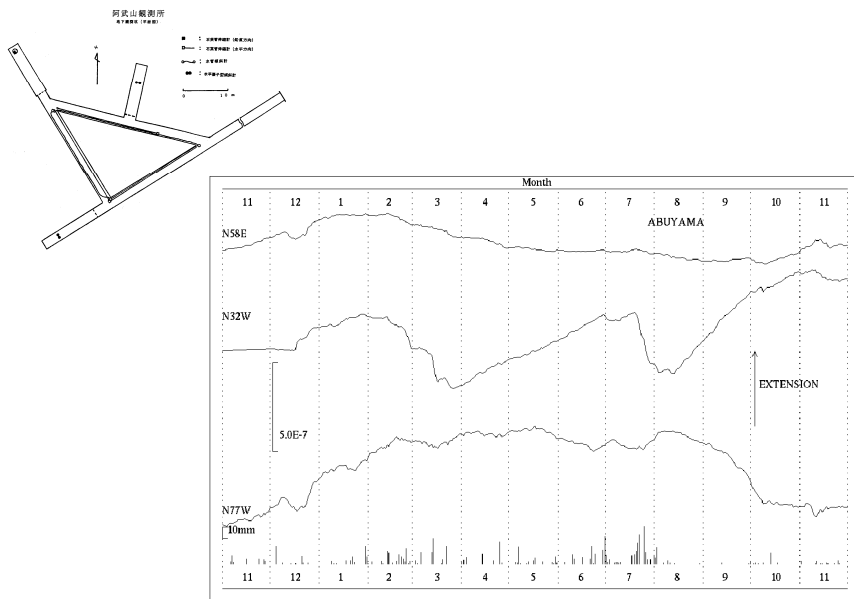
Fig.1 Location map of observatories.



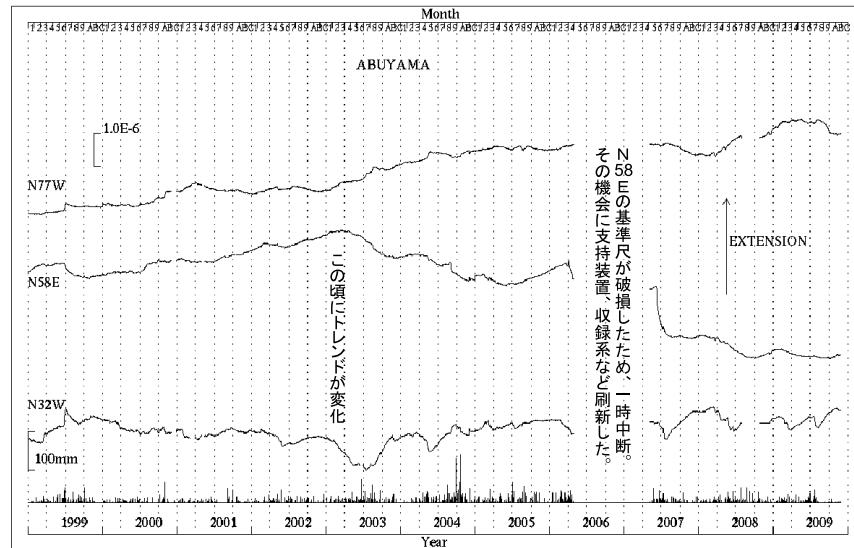
第2図 上宝観測所蔵柱観測室における歪変化と日雨量（2008年11月～2009年11月）

Fig.2 Strain changes and daily precipitation at Kurabashira observatory.

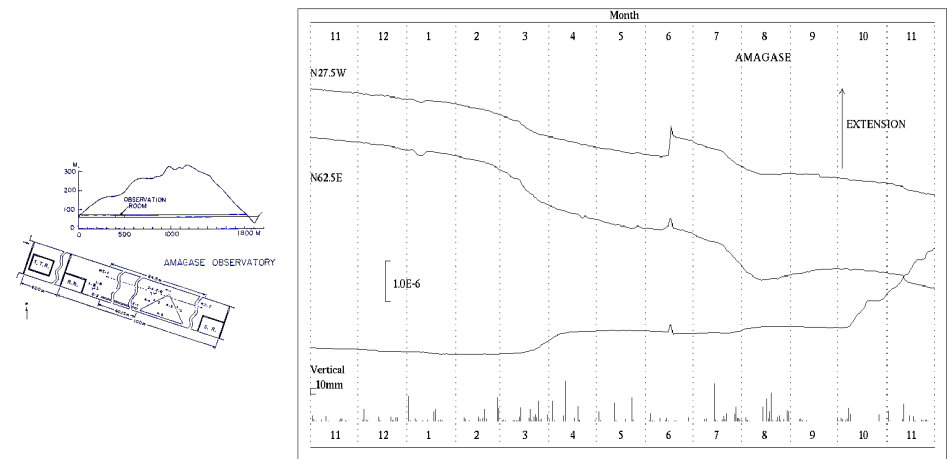
(Nov. 1, 2008 ~ Nov. 30, 2009).



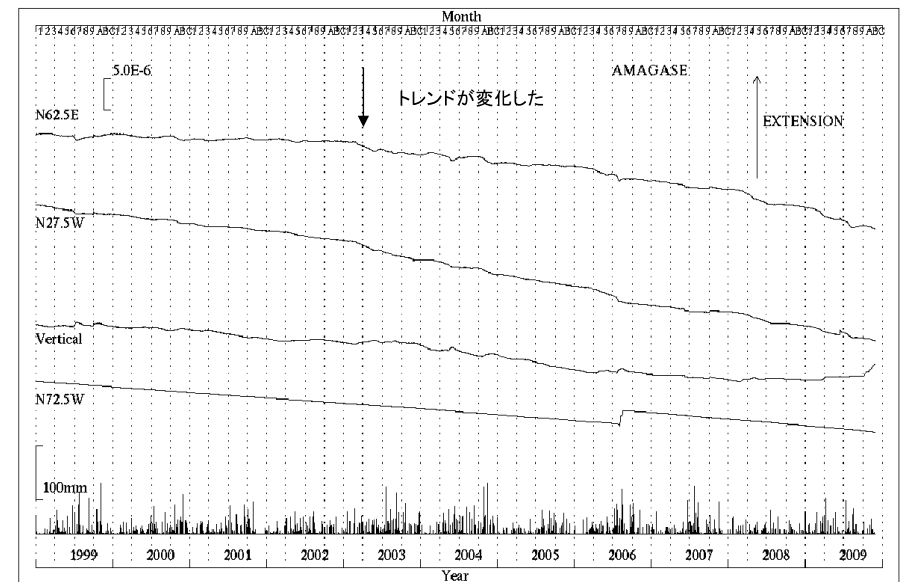
第3 a 図 阿武山観測所における歪変化と日雨量 (2008年11月～2009年11月)
 Fig.3a Strain changes and daily precipitation at Abuyama observatory.
 (Nov. 1, 2008 ~ Nov. 30, 2009).



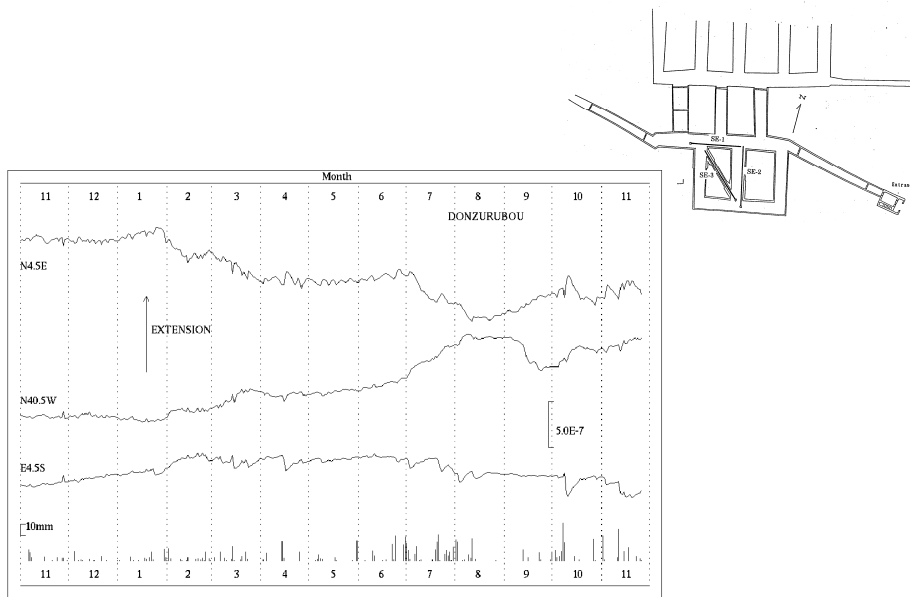
第3 b 図 阿武山観測所における歪変化と日雨量 (1999年1月～2009年11月)
 Fig.3b Strain changes and daily precipitation at Abuyama observatory.
 (Jan. 1, 1999 ~ Nov. 30, 2009).



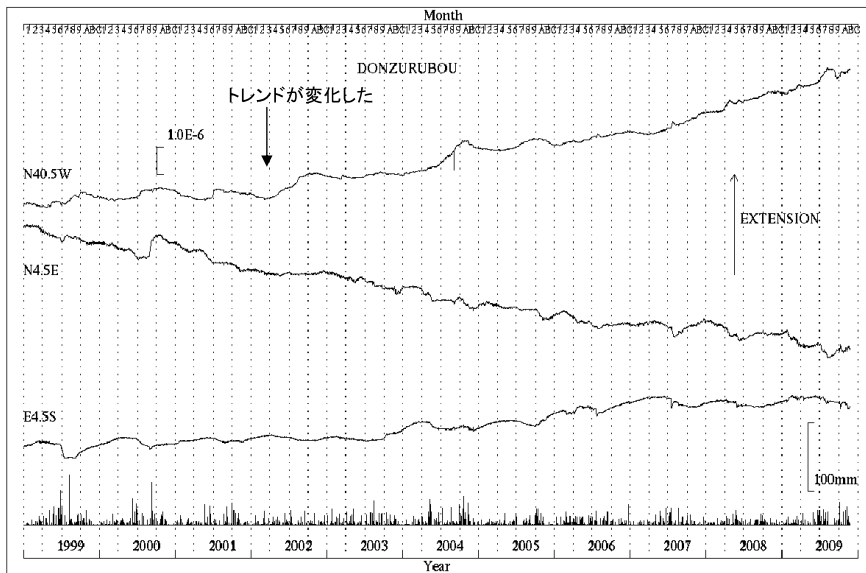
第4 a 図 天ヶ瀬観測室における歪変化と日雨量 (2008年11月～2009年11月)
 Fig.4a Strain changes and daily precipitation at Amagase observatory.
 (Nov. 1, 2008 ~ Nov. 30, 2009).



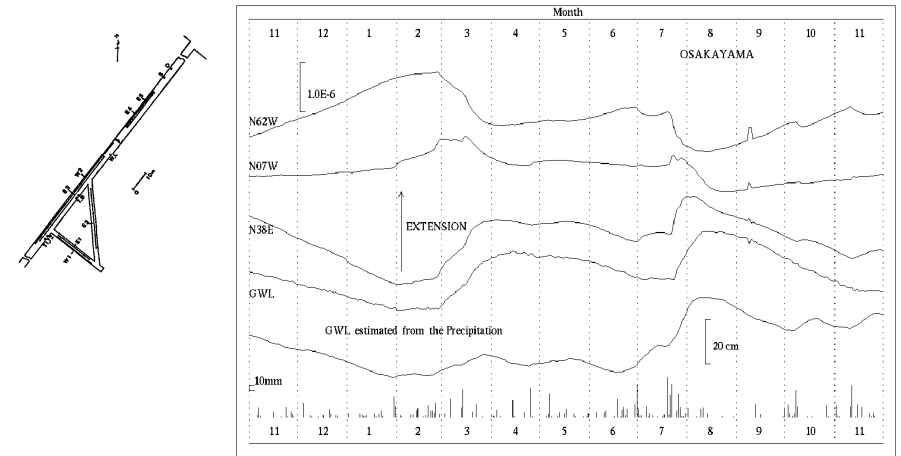
第4 b 図 天ヶ瀬観測室における歪変化と日雨量 (1999年1月～2009年11月)
 Fig.4b Strain changes and daily precipitation at Amagase observatory.
 (Jan. 1, 1999 ~ Nov. 30, 2009).



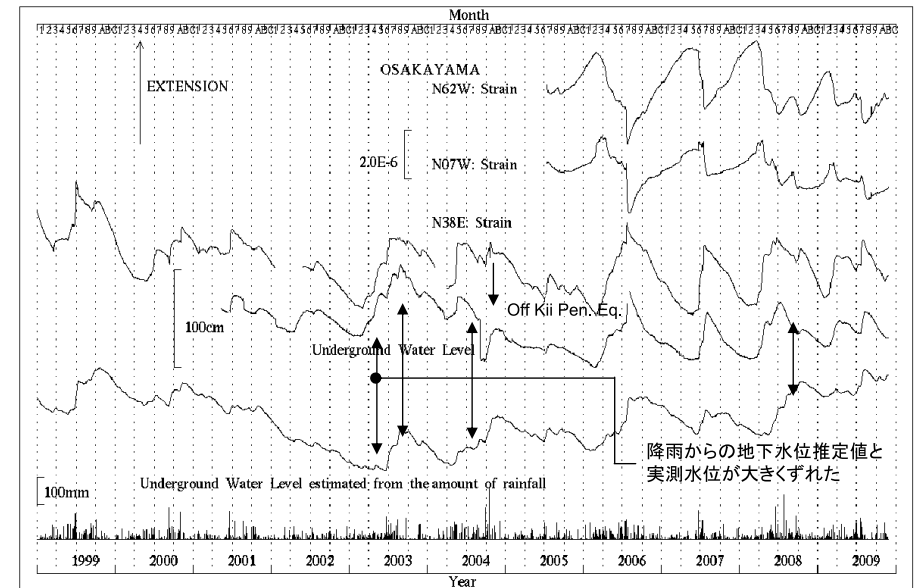
第5 a 図 屯鶴峯観測所における歪変化と日雨量 (2008年11月～2009年11月)
 Fig.5a Strain changes and daily precipitation at Donzurubou observatory.
 (Nov. 1, 2008 ~ Nov. 25, 2009).



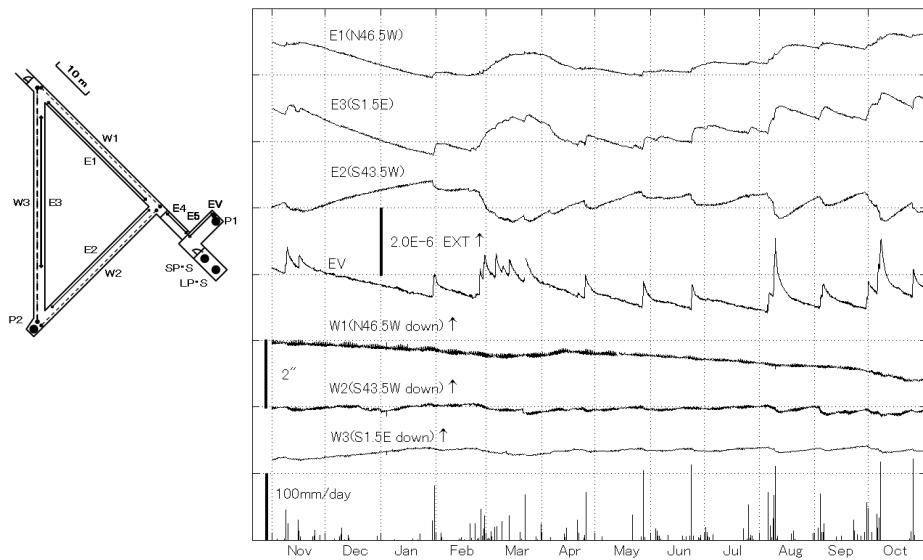
第5 b 図 屯鶴峯観測所における歪変化と日雨量 (1999年1月～2009年11月)
 Fig.5b Strain changes and daily precipitation at Donzurubou observatory.
 (Jan. 1, 1999 ~ Nov. 25, 2009).



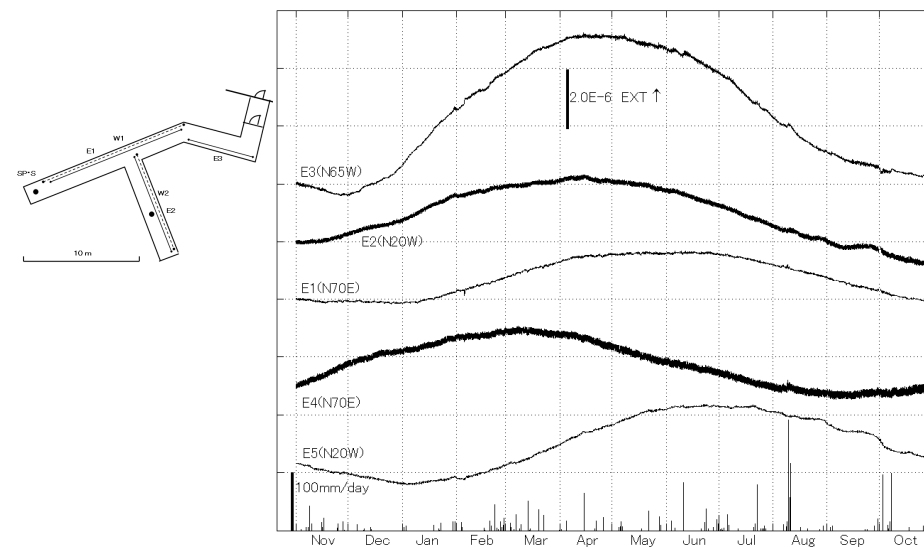
第6 a 図 逢坂山観測所における歪変化, 地下水位と日雨量 (2008年11月～2009年11月)
 Fig.6a Strain change, underground water level and daily precipitation at Osakayama observatory.
 (Nov. 1, 2008 ~ Nov. 30, 2009).



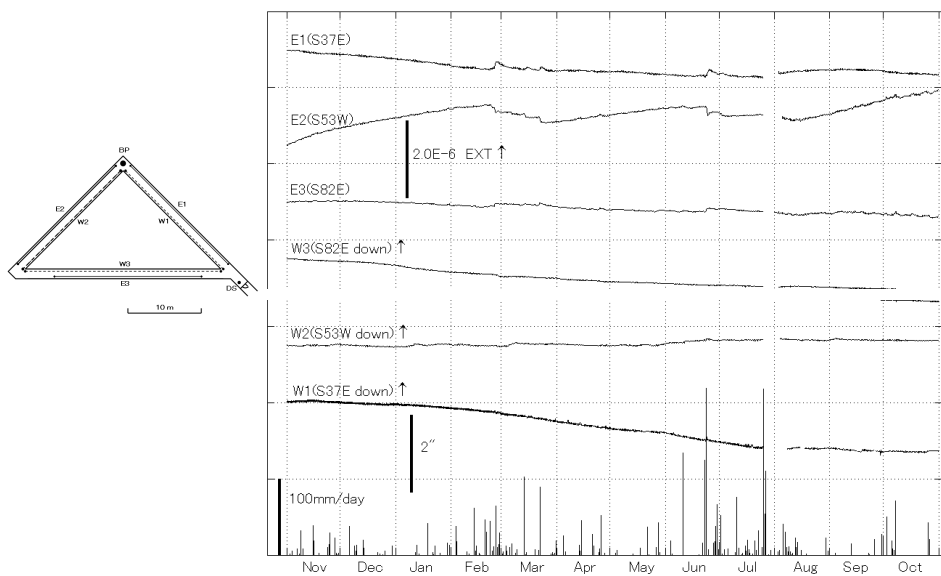
第6 b 図 逢坂山観測所における歪変化, 地下水位, 日雨量と雨量から算出した地下水位推定値 (1999年1月～2009年11月)
 Fig.6b Strain change, underground water level, daily precipitation and estimated underground water level from precipitation at Osakayama observatory.
 (Jan. 1, 1999 ~ Nov. 30, 2009).



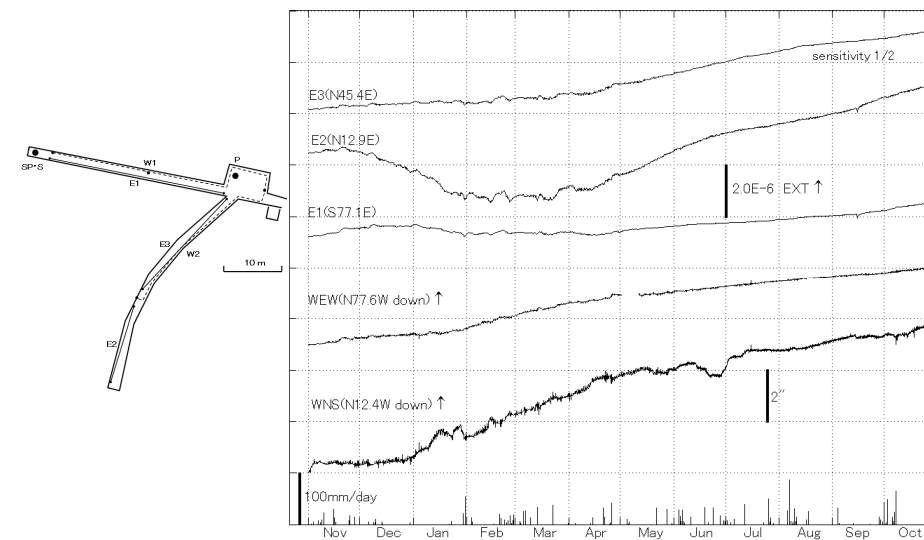
第7図 宮崎観測所における歪・傾斜変化と日雨量 (2008年11月～2009年10月)
 Fig.7 Strain changes, tilt changes and daily precipitation at Miyazaki observatory.
 (Nov. 1, 2008 ~ Oct. 31, 2009).



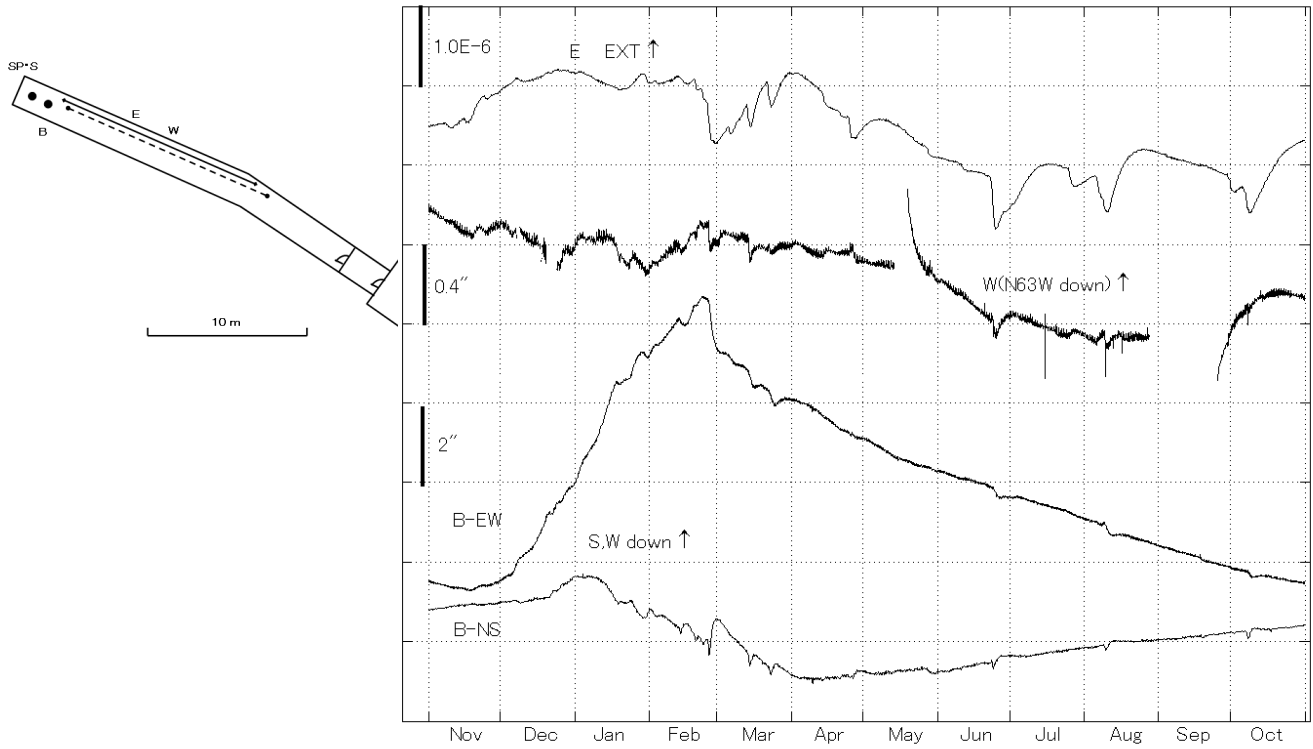
第9図 宿毛観測所における歪変化と日雨量 (2008年11月～2009年10月)
 Fig.9 Strain changes, tilt changes and daily precipitation at Sukumo station.
 (Nov. 1, 2008 ~ Oct. 31, 2009).



第8図 伊佐観測室における歪・傾斜変化と日雨量 (2008年11月～2009年10月)
 Fig.8 Strain changes, tilt changes and daily precipitation at Isa station.
 (Nov. 1, 2008 ~ Oct. 31, 2009).

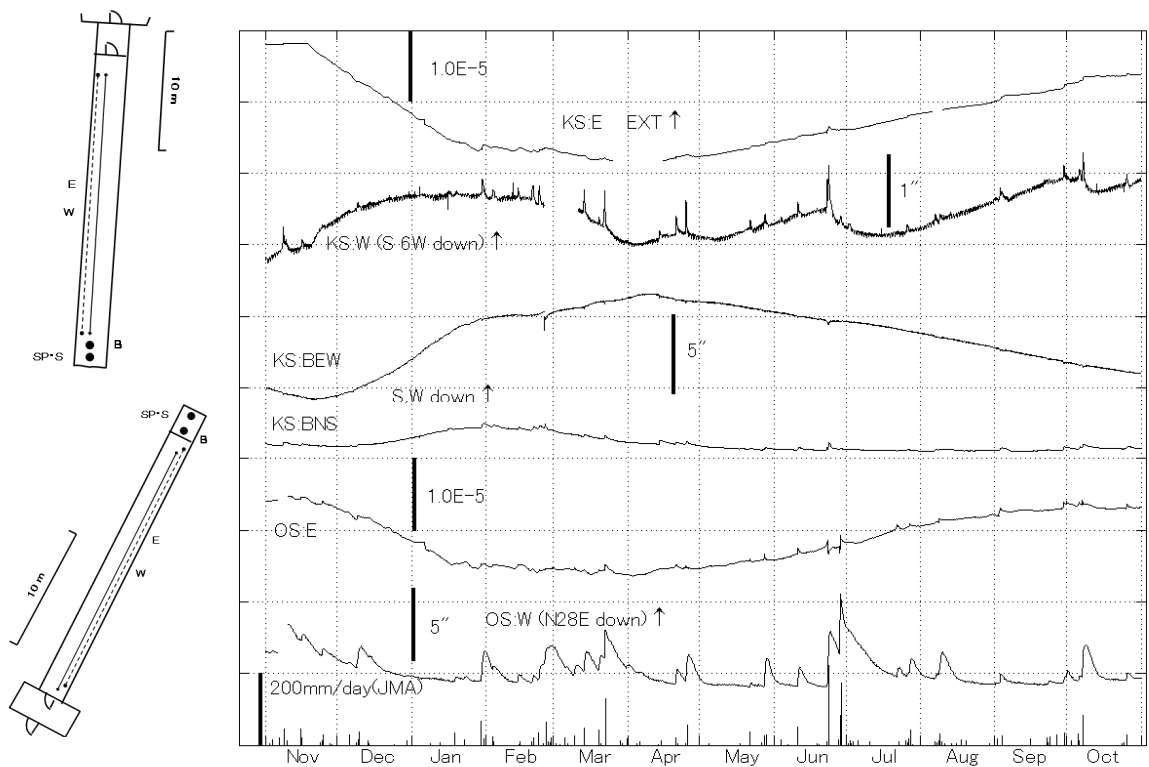


第10図 槇峰観測室における歪・傾斜変化と日雨量 (2008年11月～2009年10月)
 Fig.10 Strain changes, tilt changes and daily precipitation at Makimine station.
 (Nov. 1, 2008 ~ Oct. 31, 2009).



第 11 図 高城観測室における歪変化と傾斜変化 (2008 年 11 月～2009 年 10 月)

Fig.11 Strain changes and tilt changes at Takajo station.(Nov. 1, 2008 ~ Oct. 31, 2009)



第 12 図 串間・大隈, 観測室における歪変化と傾斜変化 (2008 年 11 月～2009 年 10 月)

雨量はアメダス(鹿児島県田代)の日雨量.

Fig.12 Strain changes and tilt changes at Kushima, and Ohsumi station.

Lowest bar graph is daily precipitation at Tashiro, nearest station by JMA.

(Nov. 1, 2008 Oct. 31, 2009)